

正員 八代高博 藤野 和範
正員 九州大学 上田 幸此古

1.はじめに

近年、水資源の不足により、海岸地域においても水資源の有効利用から淡水地下水が取水エネルギー可能性があり、このため浸入長の長い地下塩水楔が形成されることがある。この塩水楔形状・塩水化障害の防止のため、従来より種々の方針で求められてきた。本報では不透地下水の定常性態について、グリーンの公式と用いた垂直流速を考慮した数値解法を示し、実験を行い、算定を仮定した解とともに比較検討を行い、数値計算例とくに「透水壁(床板)設置」の場合の塩水楔形状を示す。

2.解の説明(図-1, 2 参照)

(1) 垂直流速を考慮した解

ボテンシャル中で次式で定義する。

$$\phi = P/(P_f \cdot g) + y \quad P: \text{圧力} \quad g: \text{重力加速度} \quad (1)$$

水平・垂直流速はダルシー則より

$$u = -k \cdot \partial \phi / \partial x \quad (2) \quad v = -k \cdot \partial \phi / \partial y \quad (3)$$

連続の式に式(2), (3)を代入すると、

$$\partial^2 \phi / \partial x^2 + \partial^2 \phi / \partial y^2 = 0 \quad (4) \quad \text{なおたゞは透水原数であり一定とする。}$$

開田線によつて画かれるとおり、領域内においてラプラスの式を満足する領域中のグリーンの公式によると、領域内部のボテンシャルは、境界上のボテンシャル中、および法線方向のボテンシャル勾配 $\partial \phi / \partial n$ で与えられ、内部の点を境界上に移すと、 $\phi(x_0, y_0) = \frac{1}{\pi} \int_{\Gamma} \{ \phi(x, y) \partial \log(1/r) / \partial n - \partial \phi(x, y) / \partial n \cdot \log(1/r) \} ds$ (5) となる。式(5)は境界上のボテンシャルとボテンシャル勾配の関係式である。

式(5)を差分化すると、 $\phi(i) = \sum_{j=1}^{N_s} \bar{A}_{ij} \phi(j) - \sum_{j=1}^{N_s} A_{ij} \partial \phi(j) / \partial n$ (6)

ここで $\bar{A}_{ij} = \frac{1}{\pi} \partial \log(1/r_{ij}) / \partial n \cdot \Delta S_j$, $A_{ij} = \frac{1}{\pi} \log(1/r_{ij}) \cdot \Delta S_j$ であり、境界上の各座標の $\partial \phi / \partial n$ の関数である。式(6)をベクトル表示すると、 $B \phi + C \partial \phi / \partial n = 0$ (7)

図-2の解析モデルの定常性態の境界条件は、

$$B_1 \text{ 上で } \phi = y, \quad B_2 \text{ 上で } \phi = \phi_{s1}(H_s - y) / P_f + y, \quad B_3 \text{ 上で } \partial \phi / \partial n = 0 \quad \} \quad (8)$$

$$B_4 \text{ 上で } \phi = y, \quad \partial \phi / \partial n = 0, \quad B_5 \text{ 上で } \phi = \phi_{s2}(H_s - y) / P_f + y, \quad \partial \phi / \partial n = 0$$

なお境界 B_1 , B_2 上の法線方向のボテンシャル勾配は図-2 の ϕ_{k1} , ϕ_{k2} および ϕ_{l1} , ϕ_{l2} でボテンシャルの一次分布を仮定すると、 $\partial \phi / \partial n$ は境界 B_3 , B_4 , B_5 上の

ボテンシャルで与えられ、式(7)は $ID\phi = F$ (9) となる。

自由水面・塩水楔界面形状の算定は、まず、その形状を仮定し、式(9)より B_3 , B_4 , B_5 上のボテンシャルを求める。 B_3 , B_5 上のボテンシャルが、境界条件式(8)の B_4 , B_5 上のボテンシャルにはなるよう、半座標のみを修正してゆく方法をとった。

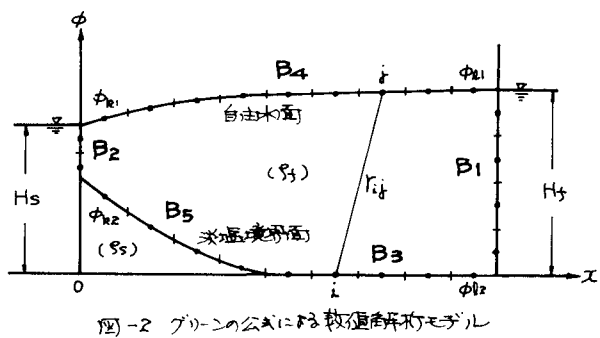
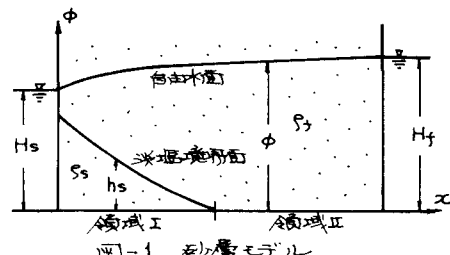


図-2 グリーンの公式による数値解析モデル

2) 淀一様流を仮定した解

図-1の傾城I、IIの海水位に次式で与えられる。 $\phi_2 = H_S - \{(H_F^2 - H_S^2)S_3/B_3\} \cdot (S_3 - B_3)/B_3 \cdot X/L\}^{1/2}$ (10)

$$\phi_2 = \{H_S^2 S_3/B_3 + (H_F^2 - H_S^2)S_3/B_3\} \cdot X/L\}^{1/2} \quad (11) \quad \text{また塩水侵入半径とヘッドタンクを設ける。}$$

3. 実験装置および実験値と計算値の比較検討

グリーンの公式を用いて解直流速を考慮した解と淀一様流を仮定した解の比較検討を行うため実験を行った。実験装置は長さ $L = 122\text{cm}$ 、高さ $H = 50\text{cm}$ 、幅 $b = 10\text{cm}$ の長方形水槽の左右に淀、塩水のヘッドタンクを設け、直径 $d = 2.0 \sim 3.0\text{mm}$ のガラス球をつめに浸透管があり、透水係数 $K = 3.4\text{cm/s}$ 、空隙率 $n = 0.4$ である。

図-3, 4に淡水位 $H_S = 40.2\text{cm}$ 、塩水位 $H_F = 38.5, 38.7\text{cm}$ の場合の実験値、および(1), (2)より得られた淀直流界面の計算値を示す。両面において実験値と両者の計算値の誤差は、淀直流界面で実験現象として、わがながら混食が原因して、るものと思われる。淀一様流を仮定した解は、塩水ヘッドタンクの近くでは現象を表わさないが、その他の傾城です、直流速を考慮した解、淀一様流を仮定した解とともに実験値と傾向の一一致がみられる。

淀一様流を仮定し、塩水ヘッドタンクからの距離が増すにつれて、この仮定の成立条件が満たされなくなる。すなはち塩水侵入端近くで、淀直流界面の勾配がゆるやかであるため、直流速が微小であることより、実験値とほぼ一致して、ものと思われる。

図-5に透水壁を設置した場合の淀直流界面の実験値とグリーンの公式を用いて解を示す。実験値と計算値の誤差は、 $X=0$ での自由水面の浸透面を考慮してないことと、差分有限法のとり方に原因があると思われるが、ほぼ現象を表わしていると言えよう。直流速を考慮した数値解は、領域内を三箇所等分割し、有限要素法による方法があるが、この有限要素法とグリーンの公式による方法を比較すると、本報の解法と境界上ののみを分割するため、計算機の容量を有限要素法に比べて小さくすることができる。

図-6に透水壁の設置場所を変化させた場合の計算値を示す。

4. むすび

透水壁、取水井等がなく、塩水楔の侵入長が長い場合は、淀一様流を仮定した解で、ほぼ現象を表わすことができる。簡単な解を求める有効な手立てと考えられる。

透水壁等が設置工事によって場合で、直流速を無視することができるため、基礎式とミラープラスの式を用いる必要があろう。この解法と本報のグリーンの公式を用いた解で、ほぼ現象を表わしうると思われる。今後、非透水隔壁による透水壁の取入れや深さと塩水楔先端位置の關係を工事に検討していくことだ。

参考文献

- Strack, O. D. L.: A Simple-Potential Solution for Regional Interfacial Problem in Coastal Aquifers. Water. R.R. 12(6) 1976

